

# به دست آوردن شکل ورق اولیه و میزان شکل پذیری در قطعات سه بعدی پرس کاری شده به روش اجزاء محدود معکوس

احمد عاصم پور (دانشیار)

صادر در محمدی (دانشجوی کارشناسی ارشد)

مسعود حاجیان (دانشجوی کارشناسی ارشد)

دانشکده‌ی مهندسی مکانیک، دانشگاه صنعتی شریف

هدف این نوشتار ارائه‌ی روشی برای به دست آوردن شکل بهینه‌ی ورق اولیه در قطعات پرس کاری شده است. در این روش چگونگی شکل پذیری قطعه از نقطه نظر پارگی و چروکیدگی قابل پیش‌بینی است و استفاده از این روش در مرحله‌ی طراحی قالب بسیار مناسب است. به عبارت دیگر، با داشتن شکل سه بعدی قطعه، مشخصات مکانیکی ورق و شرایط فیزیکی فرایند می‌توان به تمامی اهداف فوق دست یافت. در این روش از نظریه‌ی تعییر شکل کائی خمیرسانی (پلاستیسیته) استفاده شده است. با توجه به قرار داشتن شکل اولیه‌ی ورق در صفحه‌ی افق، ارتقای تعییر شکل در هر نقطه معلوم است و مسئله‌ی از حالت سه بعدی به دو بعدی کاهش می‌یابد که در کاهش حجم محاسبات بسیار مؤثر است.

همچنین به منظور دسترسی به مناسب‌ترین حدس اولیه در حل سیستم معادلات، از یک روش ویژه در تصویر کردن المان‌های واقع بر قطعه سه بعدی بر صفحه‌ی افق استفاده شده است. با حل سیستم معادلات علاوه بر شکل بهینه‌ی ورق اولیه، مؤلفه‌های کرنش‌های اصلی نیز مشخص می‌شود. نتایج به دست آمده از این روش برای چند قطعه‌ی صنعتی با نتایج تجربی و همچنین نرم افزارهای تجاری موجود مورد مقایسه قرار گرفته است.

assem@sharif.edu  
sdormohammadi@mech.sharif.edu  
hajian@mech.sharif.edu

وازگان کلیدی: پرس کاری ورق، کشش عمیق، روش اجزاء محدود معکوس، شکل اولیه‌ی ورق، شکل پذیری.

## مقدمه

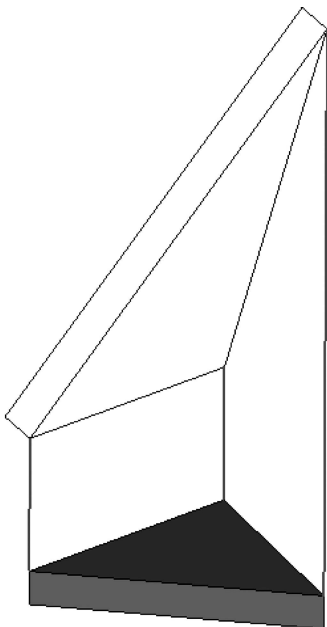
با توجه به پیچیدگی قطعات پرس کاری شده، هزینه‌ی زیاد و نیز زمان بر بودن سعی و خطای تجربی، مدل سازی رایانه‌یی که به کاهش قابل توجه زمان و هزینه می‌انجامد، سریعاً توسعه یافت. این فرایند همچنین با استفاده از مدل صلب - پلاستیک در اجزاء محدود و براساس نظریه‌ی غشایی مدل سازی شد.<sup>[۱]</sup> در صورت بزرگ بودن کرنش‌ها فرض صلب - پلاستیک فرضی کاملاً منطقی و مناسب است. با این حال با به کارگیری این مدل امکان محاسبه‌ی برگشت فنری و تنش‌های پس‌ماند از بین می‌رود. محققین برای رفع این محدودیت، مدل الاستوپلاستیک را به عنوان مدل ماده به کار گرفتند. جزئیات روابط و فرمولاسیون این مدل سازی در دسترس است.<sup>[۲]</sup>

مدل‌های فوق همگی از ورق اولیه به قطعه‌ی نهایی می‌رسند؛ این در حالی است که در مرحله‌ی طراحی نیاز داریم که با داشتن قطعه‌ی نهایی، ورق اولیه‌ی مناسب را به دست آوریم. تکمیل حل در این روش‌ها زمان بر است و برای مدل سازی نیز به کاربر متخصص و با تجربه نیاز است. به منظور اجتناب از این مشکلات، اخیراً از مدل‌های اجزاء محدود معکوس استفاده می‌شود؛ چنان که برخی از محققین

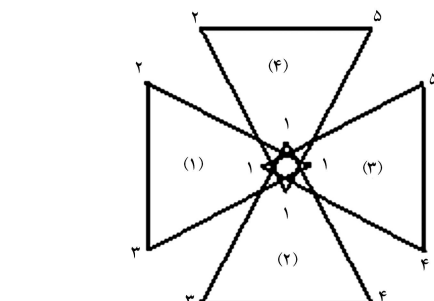
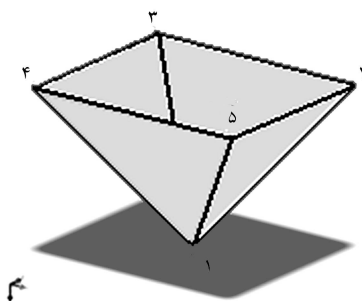
پرس کاری ورق یکی از مهم‌ترین فرایندهای شکل دهنده در صنایع مختلف است. از مزیت‌های این روش کم شدن دوره‌ی زمانی و تولید قطعات با اشکال پیچیده است. بیشترین کاربرد این فرایند در صنایع خودروسازی مشاهده می‌شود. اندکی بهبود در فرایند ساخت قطعات بدنه‌ی خودرو منجر به صرفه‌جویی‌های اقتصادی قبل توجه می‌شود. با دسترسی به رایانه‌های پرس‌سرعت، شبیه‌سازی رایانه‌یی این فرایند به طور پیوسته در حال بهبود است. این شبیه‌سازی، بهینه‌سازی فرایند - به خصوص در مراحل طراحی - را هدف گرفته است. در قطعات پیچیده عدم رعایت بعضی از اصول در پارامترهای طراحی ممکن است به بروز عیوب عمده، نظریه‌پارگی و چروکیدگی، پیشگامد.

در یکی از اولین تلاش‌ها برای مدل سازی فرایند پرس کاری ورق، تحقیقات تجربی وسیعی در مورد کشش عمیق انجام، و حل تحلیلی ساده‌ی برای حالت کشش عمیق متقاضی محوری ارائه شد.<sup>[۳]</sup> با در دسترس قرار گرفتن رایانه‌های پرس‌سرعت و

تاریخ: دریافت ۱۳۸۷/۸/۸، داوری ۱۳۸۸/۶/۱۱، پذیرش ۱۳۸۸/۱۱/۱۲.



شکل ۱. تصویر یک المان.



شکل ۲. نمایش المان‌های تاشده‌ی هرم روی صفحه‌ی افقی.<sup>[۱۱]</sup>

### ۳. محاسبه‌ی نیروهای درون صفحه‌ی و تشکیل سیستم معادلات خطی

در مرحله‌ی بعد ماتریس سختی برای المان‌های تاشده به دست می‌آید. در محاسبه‌ی این ماتریس، ضخامت هر المان ثابت و با برای با ضخامت ورق اولیه فرض می‌شود (البته این ضخامت در مرحله بعدی تصحیح خواهد شد). حال نیروهایی به صورت صفحه‌ی برای هر المان به دست می‌آید. این نیروها معادل نیروهایی است که سبب تغییر شکل قطعه‌ی سه‌بعدی به حالت تصویر شده و با حالت تصویر شده به ورق

نیز به روش معکوس و براساس کمینه‌سازی انرژی به حل مسئله پرداختند.<sup>[۴]</sup> در این روش، معادلات غیرخطی حاصل از کمینه‌سازی انرژی با استفاده از الگوریتم نیوتون - رافسون در چندین مرحله حل می‌شود. از آنجا که سرعت همگایی معادلات غیرخطی کاملاً وابسته به حدس اولیه است، روش‌هایی برای بهبود حدس اولیه نیز ارائه شد.<sup>[۵]</sup> در همین راستا، براساس کمینه‌سازی انرژی نتایج روش معکوس به دست آورده شد و با استفاده از روش مستقیم ورق اولیه‌ی حاصل از روش معکوس بهینه‌سازی شد.<sup>[۶]</sup> سپس بهمک نظریه‌ی تغییر شکل کلی خمیرسانی و المان‌های غشایی، مسئله‌ی متقارن محوری حل شد.<sup>[۷]</sup> در ادامه آن را برای حالت بدون مقارن محوری نیز توسعه دادند.<sup>[۸]</sup> در یکی از تحقیقات به عمل آمده، با فرض رابطه‌ی خطی بین کرنش و تغییر مکان و اعمال آن به تغییر شکل‌های بزرگ، محققین به حل مسئله پرداختند.<sup>[۹]</sup>

در این نوشتار و در ادامه و تکمیل پژوهش قبلی،<sup>[۱۰]</sup> بهمک تاکردن<sup>۱</sup> المان‌های قطعه‌ی سه‌بعدی و درنتیجه تبدیل مسئله سه‌بعدی به دو بعدی، روشی سریع و کارا برای آنالیز کرنش در فرایند پرسکاری ورق ارائه می‌شود. تعدادی فرضیات ساده‌ساز نیز برای رسیدن به حل اعمال شده و برای حل از نظریه‌ی تغییر شکل کلی خمیرسانی استفاده می‌شود. مسیر تغییر شکل ماده به صورت خط مستقیم در نظر گرفته شده و حل به صورت تک‌گام و تنها با در نظر گرفتن حالت ابتدایی و نهایی قطعه انجام می‌شود.

### مراحل کاری و فرمول‌بندی

چنان که بیان شد هندسه‌ی قطعه‌ی نهایی به صورت سه‌بعدی معلوم است. همچنین مکان اولیه‌ی کلیه‌ی نقاط روی صفحه‌ی افق قرار دارد. با درنظر گرفتن این معلومات مسئله‌ی سه‌بعدی به دو بعدی محدود می‌شود. همچنین با درنظر گرفتن نظریه‌ی تغییر شکل کلی خمیرسانی<sup>۲</sup> و استفاده از یک حدس اولیه‌ی نزدیک به واقعیت، سیستم معادلات به صورت خطی درآمده و حل می‌شوند. برای مشبندی قطعه از المان‌های مثنی ۶ درجه آزادی استفاده شده است. به طور کلی مراحل حل مسئله عبارت‌اند از:

#### ۱. تصویرکردن<sup>۲</sup>

حالت تصویرشده‌ی یک المان دلخواه در شکل ۱ نمایش داده شده است. تصویر این هرم (سايه) از نظر موقعیت طول و عرض کاملاً منطبق بر طول و عرض نقاط موجود روی قطعه‌ی سه‌بعدی است. بنا برای تصویر یک قطعه معرف حالت نهایی آن قطعه پس از شکل‌دهی و در فضای دو بعدی است.

#### ۲. تاکردن<sup>۲</sup>

به منظور دست‌یابی به نیروهای شکل‌دهی، المان‌های قطعه به طور جداگانه حول مرکز المان دوران داده شده و به حالت افقی درمی‌آیند. در شکل ۲ المان‌های تاخورده‌ی مریبوط به هرم، روی صفحه‌ی افقی المان مشاهده می‌شود. المان‌های نشان داده شده از نظر سطحی تقریباً معرف حالت اولیه‌ی المان در سطح افق هستند. اما موقعیت گره‌ها و پیوستگی بین المان‌ها باید تصحیح شوند. به عبارت دیگر با اعمال یک نیروی درون صفحه‌ی بی باید جایه‌جایی‌های لازم انجام شود تا شکل واقعی گسترده حاصل شود.

نمایش می‌دهد. المان به دست آمده در ورق تخت معادل المان اولیه در شکل، و المان تاشده افقی معادل المان تغییر شکل یافته است. هر دو این المان‌ها در صفحه‌ی تخت دو بعدی و در دستگاه مختصات اصلی قرار دارند.

رابطه‌ی موقعیت نهایی رأس‌های A و B را می‌توان بر حسب موقعیت اولیه‌شان و به کمک تانسور F (گرادیان تغییر شکل) به شکل ماتریسی بیان کرد:

$$\begin{bmatrix} x_1 \\ x_2 \\ y_1 \\ y_2 \end{bmatrix} = \begin{bmatrix} X_1 & Y_1 & 0 & 0 \\ X_2 & Y_2 & 0 & 0 \\ 0 & 0 & X_1 & Y_1 \\ 0 & 0 & X_2 & Y_2 \end{bmatrix} \begin{bmatrix} F_{11} \\ F_{12} \\ F_{21} \\ F_{22} \end{bmatrix} \quad (4)$$

با ضرب کردن معکوس ماتریس مرتبه ۴ در طرفین رابطه‌ی ۴، مؤلفه‌های F محاسبه می‌شوند.

$$\begin{bmatrix} F_{11} \\ F_{12} \\ F_{21} \\ F_{22} \end{bmatrix} = \frac{1}{X_1 Y_2 - X_2 Y_1} \begin{bmatrix} Y_1 & -Y_1 & 0 & 0 \\ -X_1 & X_1 & 0 & 0 \\ 0 & 0 & Y_2 & -Y_1 \\ 0 & 0 & -X_2 & X_1 \end{bmatrix} \begin{bmatrix} x_1 \\ x_2 \\ y_1 \\ y_2 \end{bmatrix} \quad (5)$$

با داشتن تانسور F، مؤلفه‌های تانسور C (تانسور تغییر شکل گرین) نیز به سادگی محاسبه می‌شود.

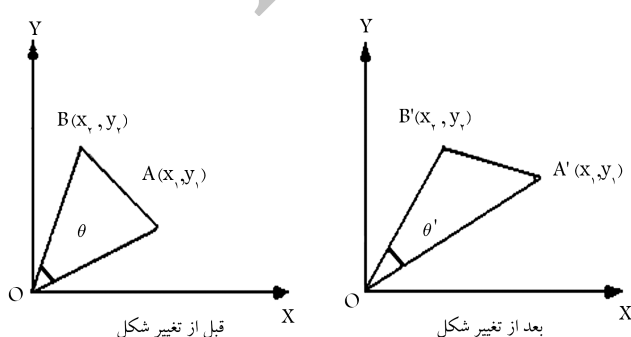
$$\begin{aligned} C_{11} &= F_{11}^2 + F_{21}^2 \\ C_{12} &= C_{21} = F_{11}F_{12} + F_{21}F_{22} \\ C_{22} &= F_{12}^2 + F_{22}^2 \end{aligned} \quad (6)$$

بدین ترتیب مقادیر اصلی C که همان نسبت‌های تغییر طول ( $\lambda$ ) هستند، و نیز راستای آنها نسبت به دستگاه مختصات محاسبه می‌شود:

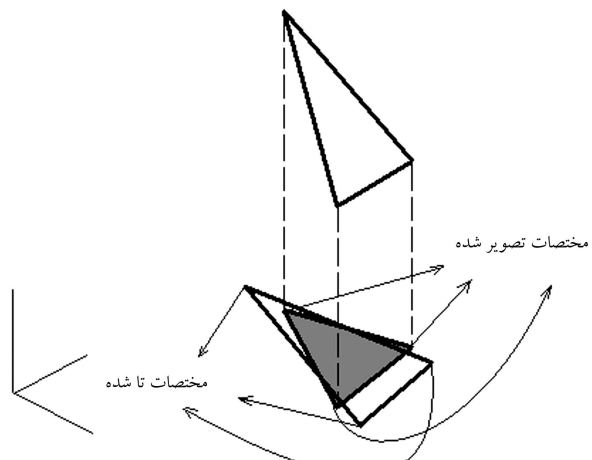
$$\lambda_{11}, \lambda_{22} = \frac{C_{11} + C_{22}}{2} \pm \sqrt{\left(\frac{C_{11} - C_{22}}{2}\right)^2 + C_{12}^2} \quad (7)$$

$$\tan 2\theta = \frac{2C_{12}}{C_{11} - C_{22}} \quad (8)$$

که در آن  $\theta$  زاویه‌ی راستای اصلی با محور x را نمایش می‌دهد.



شکل ۴. المان مثلثی در حالت تغییر شکل یافته و اولیه.<sup>[۱۳]</sup>



شکل ۳. نمایش مختصات گره‌های المان تصویر شده و المان تاشده برای یک المان مشخص.

اولیه می‌شود. نیروهای اعماقی در هر گره چنین محاسبه می‌شود:

$$\Delta u_e = (Unfolded Coordinates) - (Projected Coordinates) \quad (1)$$

$$F_e = K_e \times \Delta u_e \quad (2)$$

که در آن  $F_e$  نیروهای وارد بر هر المان،  $K_e$  ماتریس سختی المان و  $\Delta u_e$  جابه‌جا گره‌های المان است. در شکل ۳ مختصات گره‌های المان تصویر شده و المان تاشده برای یک المان مشخص نمایش داده شده است. این عمل برای تمام المان‌ها تکرار شده و با موئیز برداری نیروها در تمام گره‌ها و همچنین موئیز ماتریس سختی برای تمام المان‌های تاخورده یک سیستم معادلات کلی حاصل می‌شود:

$$KU = F \quad (3)$$

که در آن  $F$  بردار نیروی کلی،  $K$  ماتریس سختی کلی و  $U$  بردار جابه‌جا یک کلی گره‌ها است.

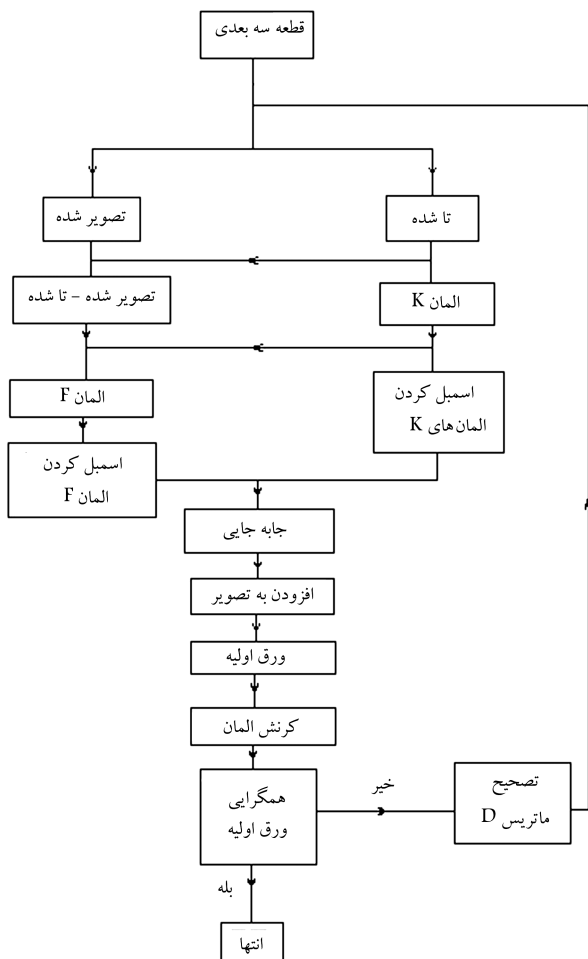
#### ۴. اعمال قیود و حل معادلات

در این مرحله قیود موجود روی گره‌ها اعمال می‌شود. مثلاً وقتی با استفاده از تقارن یک‌چهارم قطعه مدل می‌شود، نقاط روی محور x یا y ها مقید به حرکت روی همان محور می‌شوند.<sup>[۱۲]</sup> پس از اعمال قید بر روی معادلات، برای حل معادلات از روش گوس استفاده می‌شود.

در جواب به دست آمده از معادله،  $U$  معرف میزان جابه‌جا یک گره‌ها است که توسط آن شکل اولیه‌ی ورق بهینه حاصل می‌شود. این شکل ورق اولیه به عنوان تخمین ابتدایی محسوب شده و در ادامه تصحیح می‌شود. برای این کار کریش‌های هر المان محاسبه می‌شود.

#### ۵. محاسبه‌ی کرنش‌ها

برای محاسبه‌ی کرنش‌های ایجاد شده در المان‌ها، از یک روش ارائه شده موجود استفاده شده است.<sup>[۱۳]</sup> شکل ۴ حالت اولیه و تغییر شکل یافته را برای المان مثلثی



شکل ۵. فلوچارت کلی روش حل.

جدول ۱. ابعاد مربوط به فرینید و قطعه.

ضخامت ورق اولیه	عمق	شعاع فیلت لبه قابل	شعاع فیلت پانج	قطر لبه فلنج	قطر پانج
۰,۷	۳۱,۵	۵	۱۳	۷۶,۶	۵۰

جدول ۲. مشخصات ماده.

E(GPa)	R	K(MPa)	n
۲۱۰	۱,۶۵	۵۴۷	۰,۱۸

چنان‌که در شکل ۶ مشاهده می‌شود، توزیع کرنش‌های حاصل از کد نوشته شده ABAQUS از نظر کیفی با نتایج تجربی و همچنین نتایج حاصل از حل نرم‌افزار به خوبی مطابقت دارد. با این حال از نظر کمی اختلافاتی مشاهده می‌شود. یکی از دلایل اختلاف نسبت به مقادیر تجربی، استفاده از المان غشاء‌ای است که فاقد خاصیت خمش است. همچنین در کار حاضر اثرات اصطکاکی وارد نشده‌اند که این خود باعث ایجاد خطای شود.  
برای بررسی پارگی احتمالی قطعه، کرنش‌های اصلی المان‌های آن بر روی منحنی حد شکل‌دهی نشان داده شده است. برای رسم منحنی حد شکل‌دهی

با محاسبه‌ی لگاریتم تغییر طول‌های اصلی، کرنش‌های اصلی نیز محاسبه می‌شود. بعد از محاسبه‌ی کرنش‌ها، کرنش معادل از رابطه‌ی ۹ قابل محاسبه است.<sup>[۲]</sup>

$$\bar{\varepsilon} = \sqrt{\frac{2}{3} \frac{(2+r)}{(1+2r)} \left[ (1+r)\varepsilon_x^2 + (1+r)\varepsilon_y^2 + 2r\varepsilon_x\varepsilon_y + \frac{1}{2}\gamma_{xy}^2 \right]}^{1/2} \quad (9)$$

سپس با داشتن مقدار کرنش معادل و به‌کمک رابطه‌ی هولمن تنش معادل محاسبه می‌شود.

$$\bar{\sigma} = k\bar{\varepsilon}^n \quad (10)$$

ماتریس بیان‌کننده جنس ماده (ماتریس  $D$ ) از رابطه‌ی ۱۱ محاسبه می‌شود.

$$D_p = \frac{\bar{\sigma}}{\bar{\varepsilon}} \left( \frac{1+r}{1+2r} \right) \begin{bmatrix} 1+r & r & 0 \\ r & 1+r & 0 \\ 0 & 0 & 1/2 \end{bmatrix} \quad (11)$$

با استفاده از ماتریس  $D$  مربوط به هر المان، ماتریس سختی المان‌ها از رابطه‌ی ۱۲ محاسبه می‌شود.

$$K_e = \int B^T D B dv \quad (12)$$

که در آن  $B$  ماتریس میان‌بایی کرنش المان،  $D$  ماتریس خاصیت ماده،  $dv$  جزء حجم ماده است.

با مونتاژ‌کردن بردارهای نیرویی المان‌ها و ماتریس‌های سختی آنها، و نیز با حل دستگاه معادلات حاصله، ورق اولیه مربوط به قطعه‌ی سه بعدی به دست می‌آید. در این مرحله کرنش‌های هر المان بهروشی که پیش تر توضیح داده شد قابل محاسبه‌اند. ماتریس  $D$  نیز با استفاده از روش مستقیم<sup>۳</sup> اصلاح می‌شود و دوباره در مسیر حل فرارگفته و فرایند حل تکرار می‌شود. فلوچارت کلی روش پیش‌بینی شکل ورق اولیه در شکل ۵ نمایش داده شده است.

## نتایج

برای ارزیابی صحت نتایج، دو قطعه‌ی فنجان دور و منشور مربعی<sup>۵</sup> در نظر گرفته شده‌اند. نتایج این دو قطعه با نتایج موجود<sup>[۱۲]</sup> و نیز با نتایج نرم‌افزار ABAQUS مقایسه شده است. فنجان دور و منشور مربعی استوانه‌ای و دارای تقارن محوری است. این قطعه با ۳۸۳۶ المان و ۲۰۰۳ گره مش‌بندی شد. ابعاد قطعه‌ی تحلیل شده و مشخصات ورق اولیه به ترتیب در جدول ۱ و ۲ آمده است.

(اعمال به mm داده شده است).

شکل ورق اولیه این قطعه، دایره‌ای بود با قطر ۹۰ mm. به منظور مقایسه‌ی اندازه‌ی شکل این ورق با نتایج نرم‌افزار ABAQUS (که به روش مستقیم مسئله را حل می‌کند)، پس از چندین مرتبه آزمون سعی و خطای قطر ورق اولیه می‌تواند ۹۱ mm به دست آمد. این مقایسه ۱/۱ درصد خطای نشان می‌دهد.

در شکل ۵ کرنش شعاعی، محیطی و ضخامتی نمایش داده شده است. منحنی با نقاط مربعی نقاطی هستند که به صورت تجربی اندازه‌گیری شده‌اند.<sup>[۱۲]</sup> منحنی نشان داده شده با نقاط خط‌چین از تحلیل نرم‌افزار ABAQUS به دست آمده‌اند. منحنی نشان داده شده با نقاط دایره‌دار نیز از تحلیل کد معکوس نوشته شده به دست آمده است.

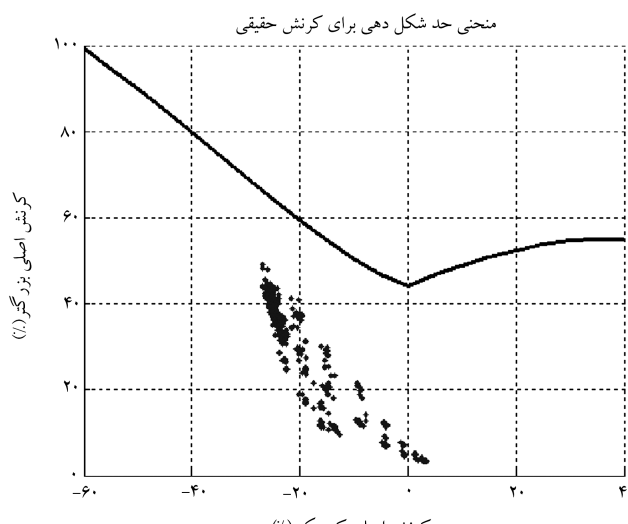
از رابطه‌ی تجربی استوارت - کیلار استفاده شده است.<sup>[۱۵]</sup> این رابطه برای ورق‌های فولادی کم‌کردن ارائه شده است. از بین دو کرنش اصلی داخل صفحه، محور افقی نشان‌گر کرنش اصلی کوچک‌تر و محور قائم نشان‌گر کرنش اصلی بزرگ‌تر است. با بررسی نمودار حد شکل‌دهی این قطعه در شکل ۷ مشاهده می‌شود که خط پارگی برای این قطعه وجود ندارد. آزمایش تجربی این قطعه نیز عدم پارگی قطعه را تأیید می‌کند.

منشور مربعی به عنوان دومین قطعه مورد تحلیل قرار گرفته است. ابعاد این قطعه‌ی مربعی (برحسب mm) در جدول ۳ و مشخصات ماده‌ی مورد استفاده در ورق اولیه‌ی آن در جدول ۴ آمده است.

این قطعه با ۱۸۶۸ المان و ۹۹۲ گره مشبندی شد و بعد از ۵ مرحله تصحیح ماده، حل به هم گرایی رسید. نتیجه‌ی شکل ورق اولیه‌ی حاصل از این تحلیل در شکل ۸ نمایش داده شده است. طول ضلع به دست آمده برای ورق اولیه نسبت به طول ضلع مناسب به دست آمده در مدل سازی نرم افزار ABAQUS (۰,۲m) حداقل ۵/۲ درصد خطأ دارد.

در مرحله‌ی طراحی اولیه، دانستن نقاط مربوط به کرنش‌های بحرانی برای طراحی از اهمیت بالایی برخوردار است. بنابراین در شکل ۹ مقادیر کرنش ضخامتی روی قطعه‌ی سه بعدی نمایش داده است.

در شکل ۱۰ نیز توزیع کرنش ضخامتی حاصل از نرم افزار ABAQUS روی قطعه نمایش داده شده است. منحنی کرنش ضخامتی بر حسب فاصله از مرکز در راستای قطر نیز در شکل ۱۱ نمایش داده شده است. در این منحنی نقاط دایره‌دار



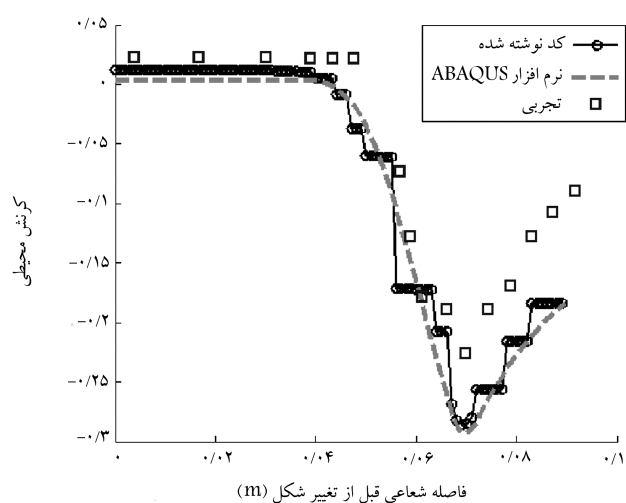
شکل ۷. نمایش کرنش المان‌ها بر روی منحنی حد شکل دهی:

### جدول ٣. ابعاد منشور هر بعji .

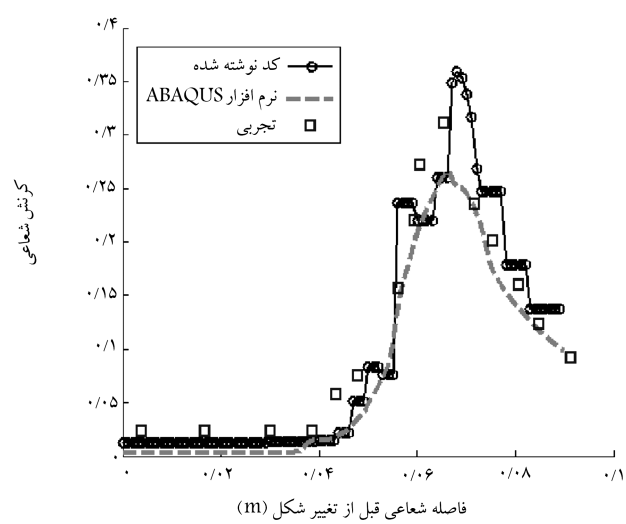
طول ضلع	شعاع فیلمت	عمق کشش	ضخامت ورق اولیه
۱۸۲	۱۰	۳۶	٪۸۲

#### جدول ۴. مشخصات ماده‌ی مورد استفاده در ورق اولیه.

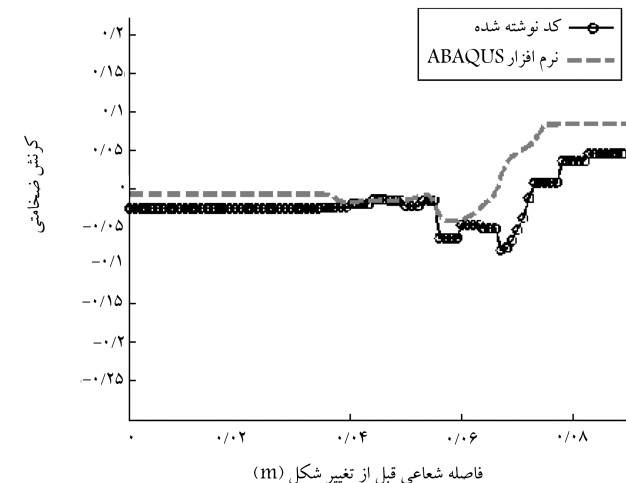
E(GPa)	R	K(MPa)	N
200	1	513	0,22



الف) کرنش محیطی، بر حسب فاصله از مرکز؛

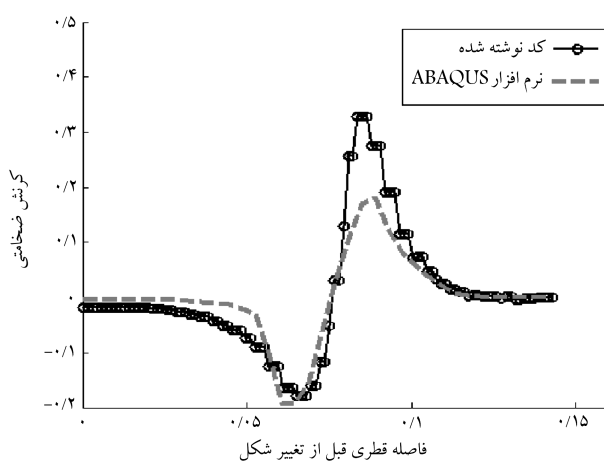


ب) کرنش شعاعی بر حسب فاصله از مرکز؛

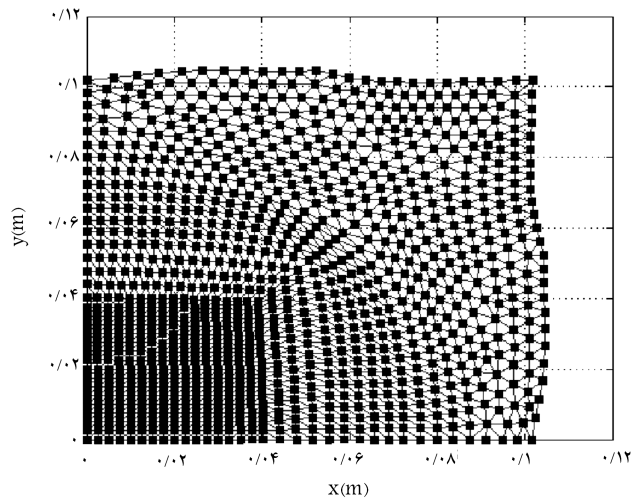


ج) کرنش ضخامتی بر حسب فاصله از مرکز در ورق اولیه.

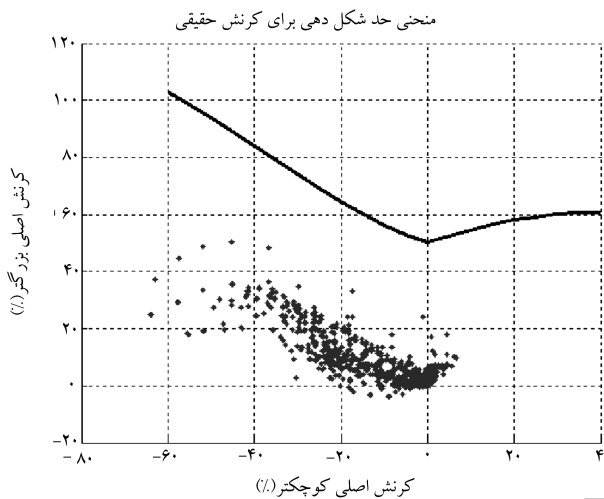
شکل ۶. نمایش کوئنت، به حسب فاصله از مرکز در ورق اولیه.



شکل ۱۱. کرنش ضخامتی بر حسب فاصله در راستای قطر.



شکل ۸. شکل ورق اولیه مناسب برای منشور مربعی.

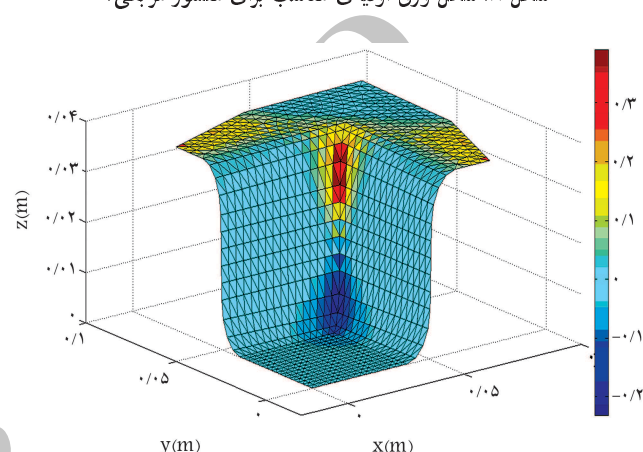


شکل ۱۲. نمایش کرنش المان های منشور مربعی بر روی منحنی حد شکل دهنده.

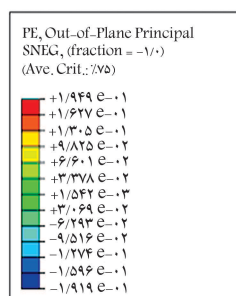
درنهایت نیز بهمنظور بررسی پارگی احتمالی قطعه، کرنش های اصلی المان های آن روی منحنی حد شکل دهنده در شکل ۱۲ نمایش داده شده است.

### نتیجه گیری

در این نوشتار روشی برای بررسی و طراحی فرایند پرس کاری ورق در مرحله‌ی طراحی محصول ارائه شد. از مزیت های این روش عدم وجود مشکلات همگرایی موجود در حل دستگاه معادلات غیر خطی و سرعت مناسب برای دفعات زیاد شبیه سازی فرایند در هین طراحی و عدم نیاز به کاربر متخصص و با تجربه بالا برای شبیه سازی است. در این حل در یک گام، تنها از مراحل اولیه و نهایی قطعه استفاده شده است که باعث سرعت بخشیدن به حل مسئله می شود. به منظور ارزیابی روش تک گام توضیح داده شده، کشش عمیق دو قطعه‌ی استوانه‌ی و مکعبی مورد تحلیل قرار گرفت. هندسه‌ی ورق اولیه، توزیع کرنش و ضخامت، و نیز نمایش کرنش المان ها بر روی منحنی حد شکل دهنده از جمله نتایج مورد ارزیابی بودند. به طور کلی نتایج از نقطه نظر کیفی قابل قبول و از نقطه نظر کمی تقریباً مناسب‌اند. البته نتایج کمی را می‌توان در مراحل تحقیقات بعدی با در نظر گرفتن اثرات خم و اصطکاک به نحو مطلوبی بهبود بخشید.



شکل ۹. توزیع کرنش ضخامتی روی قطعه‌ی سه بعدی.



شکل ۱۰. توزیع کرنش ضخامتی روی قطعه‌ی نهایی حاصل از نرم افزار ABAQUS

نتایج کد معکوس، و نقاط خط‌چین نتایج مربوط به نرم افزار ABAQUS را نمایش می‌دهند.

این توزیع کرنش از نظر کیفی با نتایج حاصل از حل نرم افزار ABAQUS تطابق خوبی دارد، اگرچه از نظر کمی اختلافاتی مشاهده می‌شود. صرف نظر کردن از اثرات خمش و اصطکاک را می‌توان یکی از دلایل این اختلاف عنوان کرد. استفاده از المان های مرتبه‌ی بالاتر نیز به بهبود دقت نتایج می‌انجامد.

## پابنوهت

1. unfolding
2. total deformation theory of plasticity
3. projection
4. direct method
5. circular cup
6. square box

## منابع

1. Johnson, W., and Mellor, P.B. *Engineering Plasticity*, Ellis Horwood, chichester (1983).
2. Kobayashi, Sh.; Oh, S., and Altan, T. *Metal Forming and the Finite Element Method*, Oxford university press (1989).
3. Pittman, J.F.T.; Zienkiewicz, O.C.; Wood, R.D., and Alexander, J.M. *Numerical Analysis of Forming Processes*, John Wiley & Sons, chichester (1984).
4. Guo, Y.Q.; Batoz, J.L.; Detraux, J.M., and Duroux, P. "Finite element procedures for strain estimations of sheet metal forming parts", *International Journal for Numerical Methods in Engineering*, **39**, pp. 1385-401 (1990).
5. Guo, Y.Q.; Batoz, J.L.; Naceur, H.; Bouabdallah, S.; Mercier, F., and Barlet, O. "Recent developments on the analysis and optimum design of sheet metal forming parts using a simplified inverse approach", *Computers and Structures*, **78**, pp. 133-148 (2000).
6. Guo, Y.Q.; Naceur, H.; Debray, K., and Bogard, F. "Initial solution estimation to speed up inverse approach", *Stamping modeling Engineering Computations*, **20**, pp. 810-834 (2003).
7. Habibi Parsa, M. and Pournia, P. "Optimization of initial blank shape predicted based on inverse finite element method", *Finite Elements in Analysis and Design*, **43**, pp. 218-233 (2007).
8. Majlessi, S.A., and Lee, D. "Further development of sheet metal forming analysis method", *Journal of engineering for industry*, **109** (Nov. 1987).
9. Majlessi, S.A., and Lee, D. "Deep drawing of square-shaped sheet metal parts", part 1: finite element analysis, *Journal of engineering for industry*, **115**, pp.102-109 (1993).
10. Liu, S.D., and Karima, M. "A one step finite element approach for product design of sheet metal stampings", *NUMIFORM*, **92**, pp. 497-502 (1992).
11. Azizi, R., and Assempour, A. "Application of linear inverse finite element method in prediction of the optimum blank in sheet metal forming", *Material and design*, **29**, pp. 1965-1972 (2008).
12. Chandrupatla, R., and Tirupathi, *Introduction to Finite Elements in Engineering*, Prentice hall, New Jersy (1997).
13. Sowerby, R.; Chu, E., and Duncan, J.L. "Determination of large strains in metal forming", *Journal of strain analysis*, **17**(2) (1982).
14. Saran, M.J.; Schedin, E.; Samuelsson, A.; Melander, A., and Gustafsson, C. "Numerical and experimental investigation of deep drawing of sheet metal parts", *Journal of engineering for industry*, **112** (August 1990).
15. Keeler, S.P. "On the origins of FLD", In forming limit diagrams: concept, method, and applications, edited by: R.H. Wagoner, K.S. Chan, S.P. Keeler, Tms (publisher), Warrendale, Pa. pp.3-8 (1989).